

## КООРДИНАЦИОННЫЕ СОЕДИНЕНИЯ

УДК 546.16+549.242+547.53.024+548.312.2+548.312.5

# СИНТЕЗ И СТРОЕНИЕ ДИКАРБОКСИЛАТОВ *ТРИС(ФТОРФЕНИЛ)СУРЬМЫ (4-FC<sub>6</sub>H<sub>4</sub>)<sub>3</sub>Sb[OC(O)R]<sub>2</sub> (R = CH<sub>2</sub>Cl, C<sub>6</sub>F<sub>5</sub>, C<sub>6</sub>F<sub>4</sub>H-2, CF<sub>2</sub>CF<sub>3</sub>, CF<sub>2</sub>CF<sub>2</sub>CF<sub>3</sub>) И (3-FC<sub>6</sub>H<sub>4</sub>)<sub>3</sub>Sb[OC(O)C<sub>6</sub>F<sub>4</sub>H-2]<sub>2</sub><sup>1</sup>*

© 2020 г. В. В. Шарутин<sup>a</sup>, О. К. Шарутина<sup>a</sup>, А. Н. Ефремов<sup>a, \*</sup>, П. А. Слепухин<sup>b</sup>

<sup>a</sup>Национальный исследовательский Южно-Уральский государственный университет,  
пр-т им. В.И. Ленина, 76, Челябинск, 454080 Россия

<sup>b</sup>Институт органического синтеза им. И.Я. Постовского,  
ул. С. Ковалевской, 22/20, Екатеринбург, 620137 Россия

\*e-mail: efremov\_an94@mail.ru

Поступила в редакцию 19.11.2019 г.

После доработки 13.12.2019 г.

Принята к публикации 27.02.2020 г.

Взаимодействием *трис*(фторфенил)сурьмы с хлоруксусной, пентафторбензойной, тетрафторбензойной, пентафторпропионовой и гептафторбутановой кислотами в присутствии *трет*-бутилгидропероксида получены дикарбоксилаты *трис*(4-фторфенил)сурьмы (4-FC<sub>6</sub>H<sub>4</sub>)<sub>3</sub>Sb[OC(O)R]<sub>2</sub>, где R = CH<sub>2</sub>Cl (I), C<sub>6</sub>F<sub>5</sub> (II), C<sub>6</sub>F<sub>4</sub>H-2 (III), CF<sub>2</sub>CF<sub>3</sub> (IV), CF<sub>2</sub>CF<sub>2</sub>CF<sub>3</sub> (V), и (3-FC<sub>6</sub>H<sub>4</sub>)<sub>3</sub>Sb[OC(O)C<sub>6</sub>F<sub>4</sub>H-2]<sub>2</sub> (VI). По данным рентгеноструктурного анализа, атомы Sb в комплексах I–VI имеют координацию тригональной бипирамиды. Аксидальные углы OSbO составляют 177.68(9)°, 177.44(12)°, 176.59(7)°, 179.59(6)°, 179.63(9)° и 175.72(12)°. Длины связей Sb–O и Sb–C равны 2.125(2), 2.136(2) и 2.101(3)–2.112(3) Å в I; 2.118(3), 2.119(3) и 2.094(5)–2.109(5) Å в II; 2.120(2), 2.137(2) и 2.114(2)–2.122(3) Å в III; 2.133(2), 2.153(2) и 2.086(2)–2.098(2) Å в IV; 2.146(3), 2.164(3) и 2.090(4)–2.093(4) Å в V; 2.123(3), 2.140(3) и 2.109(5)–2.122(5) Å в VI.

**Ключевые слова:** *трис*(фторфенил)сурьма, дикарбоксилаты, окислительный синтез, рентгеноструктурный анализ

**DOI:** 10.31857/S0044457X20070193

## ВВЕДЕНИЕ

Известно, что дикарбоксилаты триарилсурьмы проявляют противомикробную [1–3] и противоопухолевую активность [4–7], которая зависит от типа лигандов при атоме металла и природы заместителей в лигандах [1, 4].

К настоящему времени известны многочисленные дикарбоксилаты трифенил- и три-*p*-арилсурины, которые получали по реакции окислительного присоединения из триарилсурьмы и карбоновых кислот NH в присутствии пероксида [8–13], однако только в двух работах [3, 13] описан синтез, строение и биологическая активность дикарбоксилатов *бис*(4-фторфенил)сурьмы. О получении и особенностях строения дикарбоксилатов *бис*(3-фторфенил)сурьмы ранее не сообщалось.

В продолжение исследований соединений пятивалентной сурьмы нами получены дикарбоксилаты *трис*(фторфенил)сурьмы

(4-FC<sub>6</sub>H<sub>4</sub>)<sub>3</sub>Sb[OC(O)R]<sub>2</sub>, где R = CH<sub>2</sub>Cl (I), C<sub>6</sub>F<sub>5</sub> (II), C<sub>6</sub>F<sub>4</sub>H-2 (III), CF<sub>2</sub>CF<sub>3</sub> (IV), CF<sub>2</sub>CF<sub>2</sub>CF<sub>3</sub> (V), и (3-FC<sub>6</sub>H<sub>4</sub>)<sub>3</sub>Sb[OC(O)C<sub>6</sub>F<sub>4</sub>H-2]<sub>2</sub> (VI) и изучены их молекулярные и кристаллические структуры.

## ЭКСПЕРИМЕНТАЛЬНАЯ ЧАСТЬ

**Синтез *бис*(хлорацетато)[*трис*(4-фторфенил)сурьмы] (I).** К раствору 100 мг (0.246 ммоль) *трис*(4-фторфенил)сурьмы и 46 мг (0.492 ммоль) хлоруксусной кислоты в 30 мл эфира добавляли 32 мг (0.246 ммоль) 70%-ного водного раствора *трет*-бутилгидропероксида и выдерживали в течение 24 ч при 20°C. После испарения растворителя остаток перекристаллизовывали из смеси растворителей бензол–гептан (2 : 1 объемн.). Получили 144 мг (99%) бесцветных кристаллов I (*t*<sub>пл</sub> = 146°C).

ИК-спектр (ν, см<sup>-1</sup>): 3113, 3076, 3062, 3012, 2954, 1670, 1656, 1583, 1490, 1456, 1409, 1394, 1344,

<sup>1</sup> Дополнительная информация для этой статьи доступна по doi 10.31857/S0044457X20070193 для авторизованных пользователей.

1303, 1234, 1222, 1165, 1093, 1064, 1022, 1010, 939, 931, 827, 794, 690, 628, 582, 511, 416.

	C	H
Найдено, %:	44.37;	2.74.
Для $C_{22}H_{16}Cl_2F_3O_4Sb$		
вычислено, %:	44.44;	2.69.

**Синтез бис(пентафторбензоато)[*трис*(4-фторфенил)сурымы] (II).** Выход 97%,  $t_{\text{пл}} = 182^\circ\text{C}$ . ИК-спектр ( $\nu$ ,  $\text{см}^{-1}$ ): 3103, 3080, 3070, 3051, 1703, 1654, 1587, 1519, 1492, 1419, 1396, 1334, 1240, 1165, 1099, 1062, 991, 927, 831, 754, 698, 628, 584, 526, 418.

	C	H
Найдено, %:	46.23;	1.49.
Для $C_{32}H_{12}F_{13}O_4Sb$		
вычислено, %:	46.32;	1.45.

**Синтез бис(2,3,4,5-тетрафторбензоато)[*трис*(4-фторфенил)сурымы] (III).** Выход 98%,  $t_{\text{пл}} = 198^\circ\text{C}$ . ИК-спектр ( $\nu$ ,  $\text{см}^{-1}$ ): 3101, 3086, 3068, 1653, 1637, 1608, 1585, 1579, 1529, 1490, 1479, 1396, 1373, 1305, 1255, 1242, 1228, 1193, 1184, 1165, 1116, 1097, 1064, 1033, 1024, 1012, 945, 914, 889, 829, 808, 792, 767, 719, 698, 630, 586, 532, 511, 491, 459, 418.

	C	H
Найдено, %:	48.35;	1.84.
Для $C_{32}H_{14}F_{11}O_4Sb$		
вычислено, %:	48.42;	1.77.

**Синтез бис(пентафторпропионато)[*трис*(4-фторфенил)сурымы] (IV).** Выход 80%,  $t_{\text{пл}} = 91^\circ\text{C}$ . ИК-спектр ( $\nu$ ,  $\text{см}^{-1}$ ): 3101, 3078, 3062, 1903, 1716, 1678, 1649, 1587, 1494, 1462, 1452, 1398, 1367, 1354, 1313, 1249, 1219, 1207, 1184, 1161, 1107, 1091, 1068, 1028, 1012, 960, 943, 827, 769, 729, 624, 588, 545, 530, 509, 453, 441, 418.

	C	H
Найдено, %:	39.25;	1.71.
Для $C_{24}H_{12}F_{13}O_4Sb$		
вычислено, %:	39.29;	1.64.

**Синтез бис(гептафторбутирато)[*трис*(4-фторфенил)сурымы] (V).** Выход 96%,  $t_{\text{пл}} = 99^\circ\text{C}$ . ИК-спектр ( $\nu$ ,  $\text{см}^{-1}$ ): 3103, 3064, 2931, 2858, 1899, 1716, 1587, 1494, 1450, 1398, 1377, 1321, 1269, 1247, 1234, 1213, 1190, 1163, 1149, 1120, 1083, 1068, 1020, 1008,

966, 933, 825, 759, 742, 717, 642, 601, 590, 555, 526, 509, 476, 418.

	C	H
Найдено, %:	37.36;	1.52.
Для $C_{26}H_{12}F_{17}O_4Sb$		
вычислено, %:	37.45;	1.44.

**Синтез бис(2,3,4,5-тетрафторбензоато)[*трис*(3-фторфенил)сурымы] (VI).** Выход 95%,  $t_{\text{пл}} = 139^\circ\text{C}$ . ИК-спектр ( $\nu$ ,  $\text{см}^{-1}$ ): 3097, 3068, 2927, 1651, 1637, 1625, 1610, 1587, 1577, 1527, 1483, 1473, 1423, 1411, 1375, 1311, 1301, 1259, 1217, 1165, 1116, 1099, 1033, 997, 918, 891, 879, 856, 792, 779, 769, 723, 717, 698, 677, 657, 630, 542, 530, 520, 484, 439.

	C	H
Найдено, %:	48.37;	1.80.
Для $C_{32}H_{14}F_{11}O_4Sb$		
вычислено, %:	48.42;	1.77.

**ИК-спектры** соединений I–VI регистрировали на ИК-спектрометре Shimadzu IR Affinity-1S в области 4000–400  $\text{см}^{-1}$  (таблетки KBr).

**Рентгеноструктурный анализ (РСА)** кристаллов I–VI проводили на дифрактометре D8 QUEST фирмы Bruker ( $\text{MoK}_\alpha$ -излучение,  $\lambda = 0.71073 \text{ \AA}$ , графитовый монохроматор) при 296(2) К. Сбор, редактирование данных и уточнение параметров элементарной ячейки, а также учет поглощения проводили по программам SMART и SAINT-Plus [14]. Все расчеты по определению и уточнению структур выполнены с использованием программ SHELXL/PC [15], OLEX2 [16]. Структуры определены прямым методом и уточнены методом наименьших квадратов в анизотропном приближении для неводородных атомов. Кристаллографические данные и результаты уточнения структур приведены в табл. 1. Полные таблицы координат атомов, длин связей и валентных углов депонированы в Кембриджском банке структурных данных (№ 1573983 (I), 1883064 (II), 1883072 (III), 1883065 (IV), 1883074 (V), 1884115 (VI); deposit@ccdc.cam.ac.uk или <http://www.ccdc.cam.ac.uk/structures>).

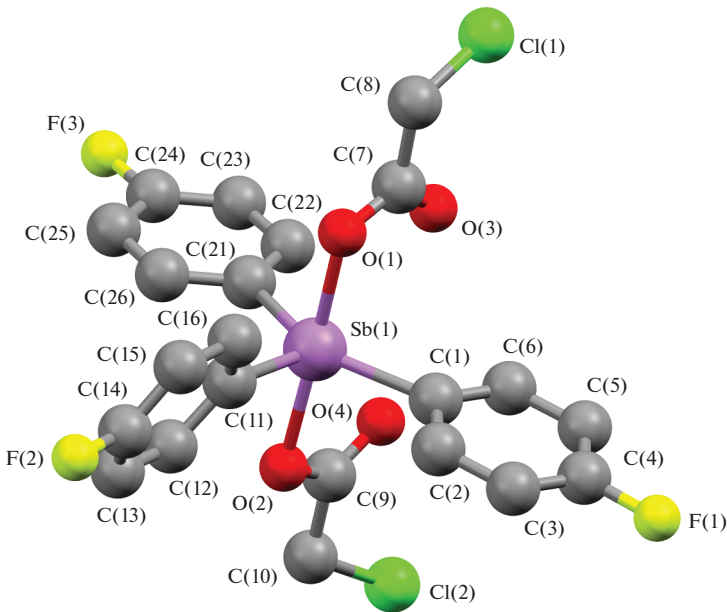
## РЕЗУЛЬТАТЫ И ОБСУЖДЕНИЕ

Известно, что окисление триарилсурымы *трет*-бутилгидропероксидом в присутствии карбоновых кислот приводит к синтезу дикарбоксилатов триарилсурымы общей формулы  $\text{Ar}_3\text{Sb}[\text{OC(O)R}]_2$  [17].

Установлено, что реакции *трис*(фторфенил)сурымы с такими карбоновыми кислотами, как хлоруксусная, пентафторпропановая, геп-

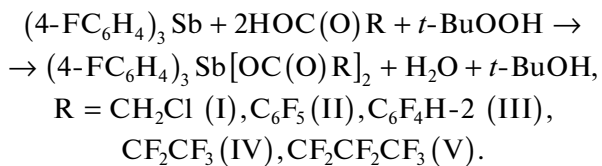
Таблица 1. Кристаллографические данные, параметры эксперимента и уточнения структур I–VI

<i>M</i>	Параметр	I	II	III	IV	V	VI
Сингния	Моноклинная <i>P</i> 2 <sub>1</sub> / <i>n</i>	594.00	829.17	793.18	733.09	833.11	793.18
Пр. гр.							
<i>a</i> , Å	12.468(4)	10.786(13)	9.059(7)	10.182(4)	11.684(11)		8.986(7)
<i>b</i> , Å	10.781(3)	12.175(10)	11.775(9)	11.544(7)	12.639(11)		12.322(10)
<i>c</i> , Å	17.754(4)	12.759(12)	14.870(13)	12.818(5)	13.052(14)		14.076(13)
α, град	90.00	69.30(3)	69.37(5)	63.35(2)	61.88(3)		99.15(4)
β, град	108.048(12)	89.17(5)	89.61(2)	85.354(16)	63.33(4)		91.82(4)
γ, град	90.00	75.64(4)	85.57(2)	82.925(16)	80.80(3)		100.28(4)
<i>V</i> , Å <sup>3</sup>	2268.9(10)	1514(3)	1480(2)	1335.7(11)	1516(2)		1511(2)
<i>Z</i>	4	2	2	2	2		2
ρ <sub>выч</sub> , г/см <sup>3</sup>	1.739	1.819	1.780	1.823	1.825		1.743
μ, мм <sup>-1</sup>	1.503	1.030	1.040	1.153	1.047		1.018
<i>F</i> (000)	1168.0	808.0	776.0	712.0	808.0		776.0
Размер кристалла, мм	0.74 × 0.58 × 0.36	0.36 × 0.34 × 0.12	0.49 × 0.16 × 0.15	0.94 × 0.64 × 0.56	0.9 × 0.66 × 0.57		0.25 × 0.18 × 0.13
2θ, град	6.08–77.46	5.88–48.98	5.6–72.94	5.92–91.28	6.3–65.88		5.62–50.08
Интервалы индексов отражений	–21 ≤ <i>h</i> ≤ 21, –18 ≤ <i>k</i> ≤ 18, –31 ≤ <i>l</i> ≤ 31	–12 ≤ <i>h</i> ≤ 12, –14 ≤ <i>k</i> ≤ 14, –14 ≤ <i>l</i> ≤ 14	–14 ≤ <i>h</i> ≤ 15, –19 ≤ <i>k</i> ≤ 19, –24 ≤ <i>l</i> ≤ 24	–20 ≤ <i>h</i> ≤ 20, –23 ≤ <i>k</i> ≤ 23, –25 ≤ <i>l</i> ≤ 25	–17 ≤ <i>h</i> ≤ 17, –19 ≤ <i>k</i> ≤ 19, –19 ≤ <i>l</i> ≤ 19		–10 ≤ <i>h</i> ≤ 10, –14 ≤ <i>k</i> ≤ 14, –16 ≤ <i>l</i> ≤ 16
Всего отражений	107107	27038	110946	182925	68549		19381
Независимых отражений	12882 ( <i>R</i> <sub>int</sub> = 0.0385)	4983 ( <i>R</i> <sub>int</sub> = 0.0327)	14369 ( <i>R</i> <sub>int</sub> = 0.0488)	22483 ( <i>R</i> <sub>int</sub> = 0.0626)	11054 ( <i>R</i> <sub>int</sub> = 0.0353)		5322 ( <i>R</i> <sub>int</sub> = 0.0544)
Отражений с <i>I</i> > 2σ( <i>I</i> )	8317	4500	9682	11164	8160		4272
Число уточняемых параметров	289	452	433	380	434		442
GOOF	1.089	1.057	1.056	1.024	1.063		1.038
<i>R</i> -факторы по <i>F</i> <sup>0</sup> > 2σ( <i>F</i> <sup>0</sup> )	<i>R</i> <sub>1</sub> = 0.0532, <i>wR</i> <sub>2</sub> = 0.1077	<i>R</i> <sub>1</sub> = 0.0346, <i>wR</i> <sub>2</sub> = 0.0983	<i>R</i> <sub>1</sub> = 0.0585, <i>wR</i> <sub>2</sub> = 0.1414	<i>R</i> <sub>1</sub> = 0.0625, <i>wR</i> <sub>2</sub> = 0.1222	<i>R</i> <sub>1</sub> = 0.0559, <i>wR</i> <sub>2</sub> = 0.1527		<i>R</i> <sub>1</sub> = 0.0415, <i>wR</i> <sub>2</sub> = 0.0976
<i>R</i> -факторы по всем отражениям	<i>R</i> <sub>1</sub> = 0.0965, <i>wR</i> <sub>2</sub> = 0.1327	<i>R</i> <sub>1</sub> = 0.1004, <i>wR</i> <sub>2</sub> = 0.1021	<i>R</i> <sub>1</sub> = 0.1503, <i>wR</i> <sub>2</sub> = 0.1525	<i>R</i> <sub>1</sub> = 0.0795, <i>wR</i> <sub>2</sub> = 0.1743	<i>R</i> <sub>1</sub> = 0.0604, <i>wR</i> <sub>2</sub> = 0.1063		
Остаточная электронная плотность (max/min), e/Å <sup>3</sup>	2.34/–1.20	1.63/–0.44	3.50/–1.03	1.07/–0.68	1.28/–0.68		0.65/–0.51



**Рис. 1.** Строение соединения I (атомы водорода не показаны).

тафтобутановая, пента- и тетрафторбензойная в присутствии *трем*-бутилгидропероксида (мольное соотношение 1 : 2 : 1) протекают в эфире с образованием дикарбоксилатов *трис*(фторфенил)сурьмы, выделяемых с выходом до 99%:



Аналогично получали *бис*(2,3,4,5-тетрафторбензоато)[*трис*(3-фторфенил)сурьму] ( $3\text{-FC}_6\text{H}_4)_3\text{Sb[OC(O)C}_6\text{F}_4\text{H-2]}_2$  (VI).

По данным РСА, в соединениях I–VI атомы Sb находятся в экваториальной плоскости и имеют искаженную тригонально-бипирамидальную координацию с атомами кислорода карбоксилатных лигандов в аксиальных положениях (рис. 1–6).

Суммы углов CSbC в экваториальной плоскости молекул I–VI составляют  $360^\circ$ . Отклонение атома сурьмы от экваториальной плоскости составляет 0.018, 0.044, 0.054, 0.012, 0.005, 0.029 Å соответственно. Плоские фенильные кольца в структурах I–VI развернуты вокруг связей Sb–C таким образом, чтобы свести к минимуму внутри- и межмолекулярные контакты. Аксиальные углы OSbO в I–VI составляют  $177.68(9)^\circ$ ,  $177.44(12)^\circ$ ,  $176.59(7)^\circ$ ,  $179.59(6)^\circ$ ,  $179.63(9)^\circ$ ,  $175.72(12)^\circ$  соответственно.

Связи Sb–C и Sb–O в молекулах I–VI несколько отличаются по длине: 2.101(3)–2.112(3) и 2.125(2), 2.136(2) Å в I; 2.094(5)–2.109(5) и 2.118(3), 2.119(3) Å в II; 2.114(3)–2.122(3) и 2.120(3), 2.137(2) Å в III; 2.086(2)–2.098(2) и 2.133(2), 2.153(2) Å в IV; 2.090(4)–2.093(4) и 2.146(3), 2.164(3) Å в V; 2.109(5)–2.122(5) и 2.123(3), 2.140(3) Å в VI. Как и в других дикарбоксилатах трифенилсурьмы, в I–VI имеют место внутримолекулярные контакты Sb···O(=C), которые составляют 2.857(4), 2.944(4) (I); 3.156(8), 3.326(8) (II); 2.894(6), 3.066(6) (III); 3.197(6), 3.215(6) (IV); 3.181(6), 3.202(6) (V); 2.831(5), 2.926(5) Å (VI). Следует отметить, что расстояния Sb···O в молекулах I–VI, в которых органические радикалы кислот содержат электроотрицательные группы, сопоставимы с аналогичными расстояниями в других структурно охарактеризованных дикарбоксилатах триарилсурьмы с подобными свойствами кислотных остатков [18–31].

Карбоксильные группы с *цис*-ориентацией относительно экваториального фрагмента  $\text{C}_3\text{Sb}$  лежат в I, III, VI приблизительно в одной плоскости (двуугранные углы между плоскостями карбоксильных групп равны  $1.58^\circ$ ,  $1.59^\circ$ ,  $5.08^\circ$  соответственно). При таком расположении карбоксильных групп контакты Sb···O(=C) осуществляются со стороны одного экваториального угла CSbC, что приводит к его увеличению ( $143.46(11)^\circ$ ,  $109.49(11)^\circ$ ,  $107.03(12)^\circ$  в I,  $142.93(11)^\circ$ ,  $111.24(12)^\circ$ ,  $105.62(12)^\circ$  в III,  $142.5(2)^\circ$ ,  $108.92(19)^\circ$ ,  $108.6(2)^\circ$  в

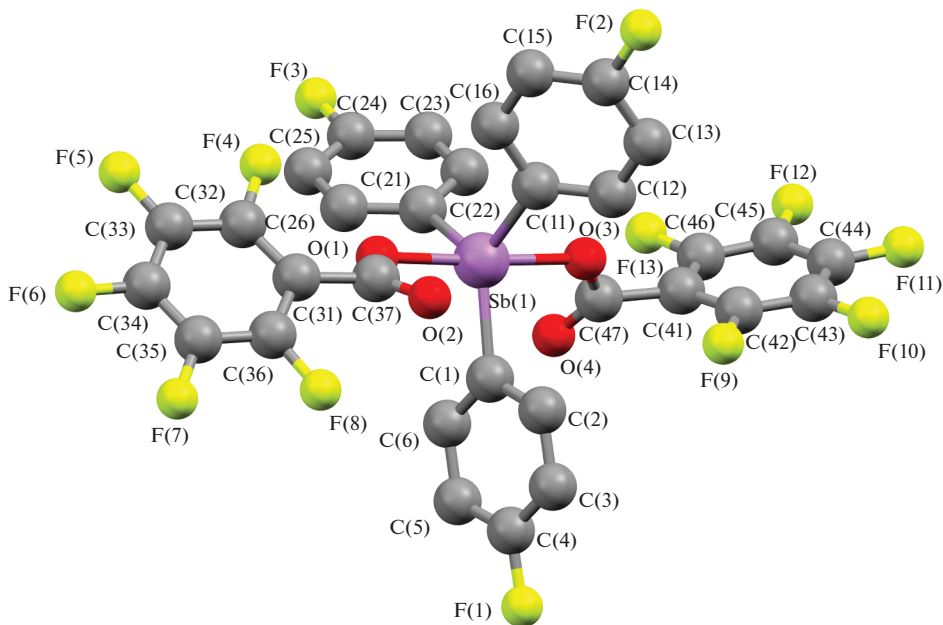


Рис. 2. Строение соединения II.

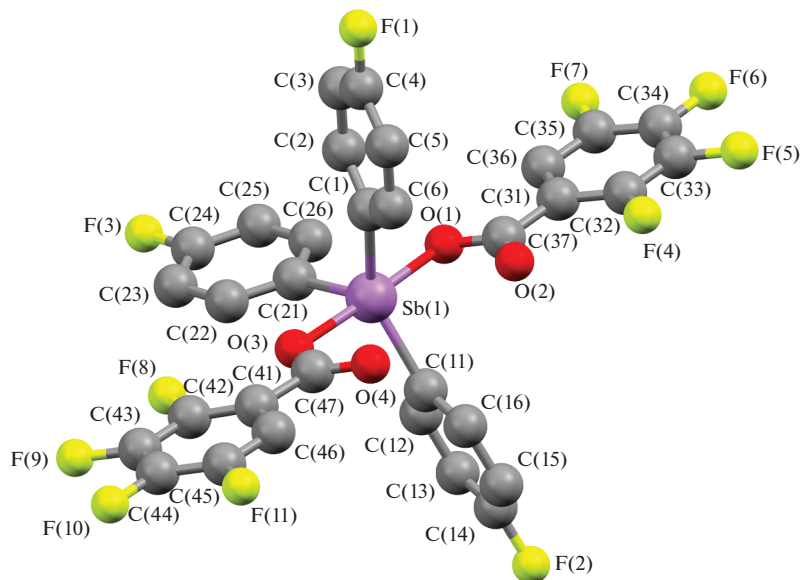


Рис. 3. Строение соединения III.

VI), при этом два других экваториальных угла становятся меньше теоретического значения. В молекулах II, IV, V двугранные углы между плоскостями карбоксильных групп имеют необычно большие значения ( $57.71^\circ$ ,  $57.82^\circ$ ,  $56.84^\circ$ ), в результате чего карбонильные атомы кислорода находятся напротив разных экваториальных углов и

углы CSbC изменяются в обычном для соединений общей формулы  $\text{Ar}_3\text{SbX}_2$  интервале ( $120 \pm 10$ )°.

Таким образом, искажение тригонально-бипирамидальной конфигурации молекул большинства дикарбоксилатов триарилсурымы проявляется в значительных отклонениях экваториальных валентных углов от идеальной величины

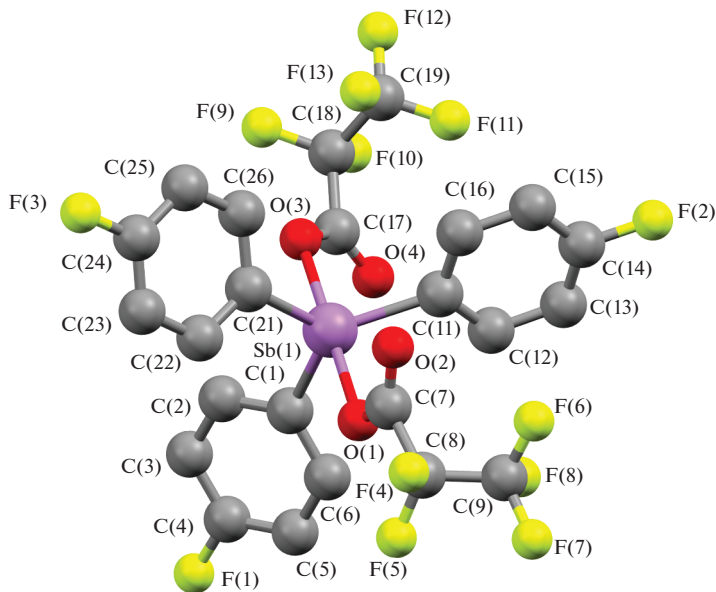


Рис. 4. Строение соединения IV.

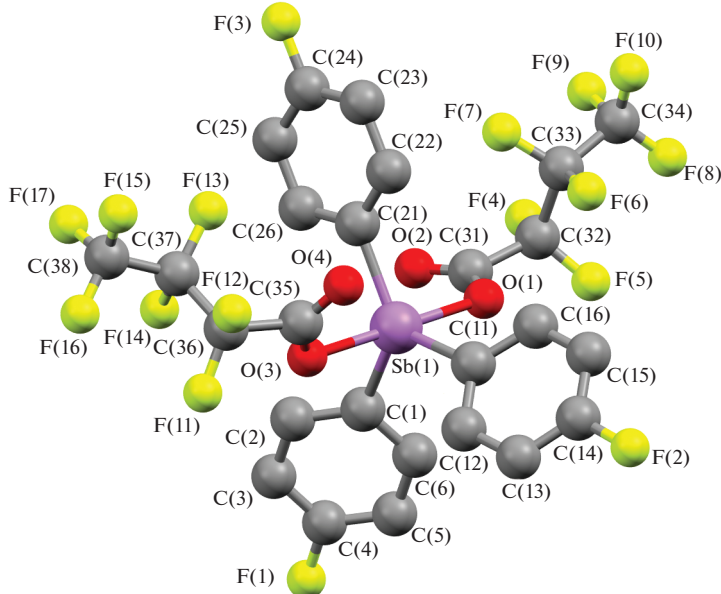


Рис. 5. Строение соединения V.

120°. При нахождении карбонильных атомов кислорода напротив разных экваториальных углов искажение координационного полиэдра центрального атома не наблюдается. Во всех ди-карбоксилатах триарилсурьмы расстояния Sb—O превышают сумму ковалентных радиусов атомов сурьмы и кислорода; средние значения длин связей Sb—C изменяются в узком интервале значе-

ний и не зависят от числа электроноакцепторных заместителей в карбоксигруппах.

#### ФИНАНСИРОВАНИЕ РАБОТЫ

Южно-Уральский государственный университет благодарит за финансовую поддержку Министерство образования и науки Российской Федерации (грант № 4.6151.2017/8.9).

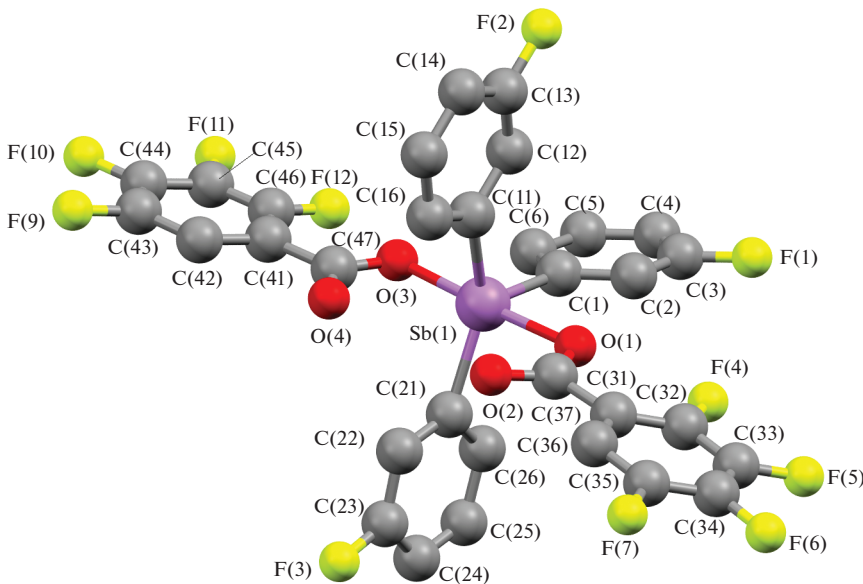


Рис. 6. Строение соединения VI.

## КОНФЛИКТ ИНТЕРЕСОВ

Авторы заявляют, что у них нет конфликта интересов.

## СПИСОК ЛИТЕРАТУРЫ

1. Ali M.I., Rauf M.K., Badshah A. et al. // Dalton Trans. 2013. V. 42. P. 16733.  
<https://doi.org/10.1039/C3DT51382C>
2. Duffin R.N., Blair V.L., Kedzierski L. et al. // Dalton Trans. 2018. V. 47. P. 971.  
<https://doi.org/10.1039/c7dt04171c>
3. Yu L., Ma Y-Q., Liu R-C. et al. // Polyhedron. 2004. V. 23. P. 823.  
<https://doi.org/10.1016/j.poly.2003.12.002>
4. Hadjikakou S.K., Ozturk I.I., Banti C.N. et al. // J. Inorg. Biochem. 2015. V. 153. P. 293.  
<https://doi.org/10.1016/j.jinorgbio.2015.06.006>
5. Islam A., Rodrigues B.L., Marzano I.M. et al. // Eur. J. Med. Chem. 2016. V. 109. P. 254.  
<https://doi.org/10.1016/j.ejmech.2016.01.003>
6. Polychronis N.M., Banti C.N., Raptopoulou C.P. et al. // Inorg. Chim. Acta. 2019. V. 489. P. 39.  
<https://doi.org/10.1016/j.ica.2019.02.004>
7. Gkaniatsou E.I., Banti C.N., Kourkoumelis N. et al. // J. Inorg. Biochem. 2015. V. 150. P. 108.  
<https://doi.org/10.1016/j.jinorgbio.2015.04.014>
8. Thepe T.C., Garascia R.J., Selvoski M.A. et al. // Ohio J. Sci. 1977. V. 77. № 3. P. 134.
9. Sharutin V.V., Sharutina O.K., Kotlyarov A.R. // Russ. J. Inorg. Chem. 2015. V. 60. № 4. P. 465. [Шарутин В.В., Шарутина О.К., Котляров А.Р. // Журн. неорг. химии. 2015. Т. 60. № 4. С. 525.]  
<https://doi.org/10.7868/S0044457X15040236>  
<https://doi.org/10.1134/S0036023615040221>
10. Sharutin V.V., Sharutina O.K., Senchurin V.S. // Russ. J. Inorg. Chem. 2015. V. 60. № 9. P. 1093.  
<https://doi.org/10.1134/S0036023615060145>
11. Sharutin V.V., Sharutina O.K. // Russ. Chem. Bull. 2017. V. 66. № 4. P. 707. [Шарутин В.В., Шарутина О.К. // Изв. РАН. Сер. хим. 2017. № 4. С. 707.]  
<https://doi.org/10.1007/s11172-017-1796-6>
12. Sharutin V.V., Sharutina O.K. // Russ. J. Gen. Chem. 2016. V. 86. № 8. P. 1902. [Шарутин В.В., Шарутина О.К. // Журн. общ. химии. 2016. Т. 86. № 8. С. 1366.]  
<https://doi.org/10.1134/S107036321608020X>
13. Yu L., Ma Y-Q., Wang G-C., Li J-S. // Heteroat. Chem. 2004. V. 15. P. 32.  
<https://doi.org/10.1002/hc.10208>
14. Bruker (1998). SMART and SAINT-Plus. Versions 5.0. Data Collection and Processing Software for the SMART System. Bruker AXS Inc., Madison, Wisconsin, USA.
15. Bruker (1998). SHELXTL/PC. Versions 5.10. An Integrated System for Solving, Refining and Displaying Crystal Structures from Diffraction Data. Bruker AXS Inc., Madison, Wisconsin, USA.
16. Dolomanov O.V., Bourhis L.J., Gildea R.J. et al. // J. Appl. Crystallogr. 2009. V. 42. P. 339.  
<https://doi.org/10.1107/S0021889808042726>
17. Шарутин В.В., Сенчурин В.С. Именные реакции в химии элементоорганических соединений. Челябинск: Издательский центр ЮУрГУ, 2011. 427 с.
18. Ferguson G., Kaither B., Glidewell C. et al. // J. Organomet. Chem. 1991. V. 419. № 3. P. 283.  
[https://doi.org/10.1016/0022-328X\(91\)80241-B](https://doi.org/10.1016/0022-328X(91)80241-B)
19. Wen L., Yin H., Li W. et al. // Inorg. Chim. Acta. 2010. V. 363. № 4. P. 676.  
<https://doi.org/10.1016/j.ica.2009.11.022>
20. Шарутин В.В., Сенчурин В.С., Шарутина О.К. и др. // Вестник ЮУрГУ. Сер. Химия. 2011. Вып. 6. № 33. С. 47.

21. *Saleem L., Altaf A.A., Badshah A. et al.* // Inorg. Chim. Acta. 2018. V. 474. P. 148.  
<https://doi.org/10.1016/j.ica.2018.01.036>
22. *Quan L., Yin H., Wang D.* // Acta Crystallogr., Sect. E: Struct. Rep. Online. 2008. V. 64. P. m1503.  
<https://doi.org/10.1107/S1600536808033783>
23. *Hong M., Yin H.-D., Li W.-K. et al.* // Inorg. Chem. Commun. 2011. V. 14. P. 1616.  
<https://doi.org/10.1016/j.inoche.2011.06.023>
24. *Wen L., Yin H., Wang C.* // Acta Crystallogr., Sect. E: Struct. Rep. Online. 2009. V. 65. P. m1442.  
<https://doi.org/10.1107/S160053680904358X>
25. *Guschin A.V., Kalistratova O.S., Verkhovykh R.A. et al.* // Vest. Lobachev. State Uni. Niv. Nov. 2013. V. 1. P. 86.
26. *Letyanova I.A., Markin A.V., Smirnova N.N. et al.* // J. Therm. Anal. Calorim. 2016. V. 125. P. 339.  
<https://doi.org/10.1007/s10973-016-5401-2>
27. *Sarwar S., Iftikhar T., Rauf M.K. et al.* // Inorg. Chim. Acta. 2018. V. 476. P. 12.  
<https://doi.org/10.1016/j.ica.2018.02.005>
28. *Mushtaq R., Rauf M.K., Bond M. et al.* // Appl. Organomet. Chem. 2016. V. 30. P. 465.  
<https://doi.org/10.1002/aoc.3456>
29. *Fukin G.K., Samsonov M.A., Kalistratova O.S. et al.* // Struct. Chem. 2016. V. 27. P. 357.  
<https://doi.org/10.1007/s11224-015-0604-x>
30. *Geng H., Hong M., Yang Y. et al.* // J. Coord. Chem. 2015. V. 68. P. 2938.  
<https://doi.org/10.1080/00958972.2015.1060322>
31. *Andreev P.V., Somov N.V., Kalistratova O.S. et al.* // Acta Crystallogr., Sect. E: Struct. Rep. Online. 2013. V. 69. P. m167.  
<https://doi.org/10.1107/S1600536813004674>